

POSTERS - MERCREDI 28/09

Session 1.1 Affleurements numériques : nouvelles méthodes d'analyse des affleurements sédimentaires

- P01** Sophie Leleu, Aurélien Bordenave, Benoit Issautier, Grégoire Arnal, Thibault Cavailles, Lukas Bernier, Tom Garot, Lorine Bonnamy, Antoine Veillerette, Barbara Roule-chenieux
3D virtual outcrop (in mountainous terrane): a tool for 3D geological large-scale interpretation and towards 3D complex reservoir geomodelling; example from a Permian analogue (Dôme du Barrot, Alpes Maritimes, France)
- P02** Hadrien Thomas, Benjamin Brigaud, Thomas Blaise, Bertrand Saint-Bézar, Elodie Zordan, Hermann Zeyen, Simon Andrieu, Benoit Vincent, Eric Portier, Emmanuel Mouche
Contribution de la photogrammétrie par drone à la modélisation 3D des hétérogénéités des réservoirs carbonatés (carrière de Massangis, Bassin de Paris)
- P03** Chloé Tournu, Cyprien Lanteaume, Emmanuel Dujoncquoy, Jeroen Kenter, Philippe Razin, Raphaël Bourillot
Digital outcrop modeling of reservoir analogues: application on the Lluçmajor outcrop (Miocene, Spain)
- P04** Jules Grellier, Emmanuel Dujoncquoy, Paul Daguinos, Aurélien Bordenave, Richard Labourdette, Philippe Razin
Sedimentary bodies repartition along oolitic-dominated ramp system: Analysis from the Amellago Cliff, Jurassic, Morocco

Session 1.2 Les SIG contribuent aux recherches conduites en géosciences

- P05** Doriane Delanghe, Ghislain Gassier, Yousra Senhaji, Sandrine Conrod
Collec-science : outil de gestion des collections scientifiques du CEREGE
- P06** Cécile Pignol, Bruno Galabertier, Fabien Arnaud
CoreBook : un carnet de terrain électronique dédié à l'aide au carottage scientifique et à la collecte des données de forage
- P07** Isabelle Billy, Xavier Crosta, Pascal Calvat, Mathieu Gauthier-Lafaye, Olivier Ther
Le workflow pour la gestion des archives sédimentaires au laboratoire EPOC
- P08** Fatima-Ezzahra Fathallah
Télé-détection et SIG : Intégration des données satellitaire dans un system SIG pour la quantification et l'évaluation de la Variabilité de végétation dans le bassin-versant de Chichaoua du Haut Atlas de Marrakech (Maroc)

Session 2 Géo-archéologie et paléo-environnement

- P09** Wiem Fersi, Aurélie Penaud, Ophélie David, Clement Lambert, Muriel Vidal, Pierre Stéphan, Jena Zumaque, Anne De Vernal, Frédérique Eynaud
Holocene paleohydrological and paleoenvironmental changes in the NE Atlantic Ocean: Insights from a new macroregional pollen record of the Northern Bay of Biscay
- P10** Clément Lambert, Aurélie Penaud, Muriel Vidal, Cristina Gandini, Laurent Labeyrie, Laurent Chauvaud, Ophélie David, Wiem Fersi, Axel Ehrhold
Striking forest revival at the end of the Roman Period in north-western Europe
- P11** Cécile Pignol, Anne-Lise Develle, Fabien Arnaud, Pierre Sabatier, Charline Giguet-Covex, William Rapuc, Isabelle Couchoud
Un workflow pour la gestion des archives stratigraphiques au laboratoire EDYTEM

Session 3.2 Effets rétroactifs des carbonates (production et altération-karstification) sur le climat, le niveau marin, le cycle du carbone

- P12** Omar Nacef, Jean Borgomano, Julien Michel, Bertrand Martin-Garin
Système expert pour les carbonates sédimentaires : création et analyse d'une base de données des plates-formes carbonatées du Jurassique supérieur

Session 4**Sédimentologie et Géoressources**

- P13** Dhouha Boukhalfa, Amina Mabrouk Asmi, Hamdi Omar, Hela Fakhfakh Ben Jemiaa, Wassim Akermi
Astrochronology and high-resolution sedimentation rate inferred from cyclostratigraphy and its implication on long distance correlation of the hydrocarbon reservoir rock in the Acacus Formation, Ghadames Basin, Southern Tunisia
- P14** Edith le Borgne, Loïc Moutoussamy, Yann Le Faou, Julie Bignon, Blandine le Cour Grand Maison, Hermann Gauduin, Emeline Geba
Caractérisation géophysique préalable des zones EMR
- P15** Radouan El Bamiki, Michel Séranne, Fleurice Parat, El Hassane Chellai, Jean-Louis Bodinier
Exploring the interaction between the sedimentary differentiation of phosphates and their geochemical behavior in the Moroccan High Atlas
- P16** Océane Tardivel, David Ernst, Dennis Kraemer, Olivier Pourret
Gallium sorption to iron oxyhydroxide: Model development to better understand mineral deposit formation
- P17** Nicolas Lefeuvre, Johann Dupuy, Eric Thomas, Keanu Loiseau, Christophe Rigollet
Sedimentary basin as a fertile natural H₂ system ?
- P18** Cédric Bailly, J.-B. Regnet, Philippe Robion, Sylvie Bourquin, Xavier Sengelen, Béatrice Ledésert
Transport properties in heterogeneous siliciclastic formations
- P19** Jérémie Aubineau, Fleurice Parat, Abdellatif Elghali, Raji Otmane, Aissam Addou, Clément Bonnet, Manuel Muñoz, Olivia Mauguin, Fabien Baron, Moulay Brahim Jouti, Oussama Khadiri Yazami, Jean-Louis Bodinier
What does the carbonate fluorapatite-hosted CO₃²⁻ content in sedimentary phosphorites tell us?

Session 7.1**Etudes "Source to Sink" et dynamique des surfaces continentales**

- P20** Sophie Leleu, Adrian J. Hartley
Sedimentary export and fluvial systems from a mega-continent to the Triassic Ocean?

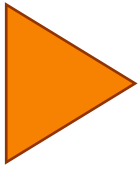
Session 7.2**Dépôts Lacustres**

- P21** Emile Simon, Hendrik Vogel, Andreas Koutsodendris, Laurent Gindre-Chanu, Guillaume Dupont-Nivet, Mathieu Martinez, François Guillocheau, Mathieu Schuster
Geochemistry, cyclostratigraphy and palynology of the Eocene-Oligocene interval of the GRT-1 well (Pechelbronn basin, Upper Rhine Graben) : paleoenvironmental and paleoclimatic implications
- P22** Pierre Boussagol, Emmanuelle Vennin, Anthony Bouton, Adeline Roche, Christophe Thomazo, Jean-Francois Buoncristiani, Fabrice Monna, Olivier Musset, Pieter Visscher
Holocene/Pleistocene lacustrine carbonate deposits in the Basin and Range, USA: Impact of climate, tectonics and substrate
- P23** Mathieu Schuster, Fidan Aslanzada, Elshan Abdullayev, Guilherme Bozetti
Sand bodies of the Productive Series from the South Caspian Basin (Pliocene, Azerbaijan): their 3D geometry, spatial distribution, and significance for clastic georeservoirs and paleoenvironments

Session 10.2**Les sédiments littoraux et sublittoraux : sources, stocks, transport et morphologie de dépôt**

- P24** Paul Daguinos, Nicolas Le Dantec, Pascal Le Roy, David Menier
Architecture et dynamique des grandes structures sableuses à l'échelle d'une plate-forme dispersive en régime macrotidal: l'exemple de la plate-forme ouest-bretonne
- P25** Paul Daguinos, Maria Lujàn, Francisco José Lobo, Pascal Le Roy, Nicolas Le Dantec, David Menier
Distribution of bedform fields on a narrow, coastal margin: The example of Cape Paloma Continental Shelf in the Strait of Gibraltar
- P26** Morgane Mignot, Emmanuel Poizot, Sylvain Guillou, Pascal Bailly du Bois, Yann Mear, Lionel Tenailleau, Patrick Mary
Modélisation hydro-sédimentaire de l'évolution morphodynamique dans la rade de Cherbourg

-
- P27** [Omar Hamdi](#), Ibrahim Benklila, Chokri Yaich, Anne-Christine Da Silva
Astrochronology as high-resolution tool for sequence stratigraphy and sediment accumulation rate modeling: Case study of the middle Berriasian sedimentary sequences in southern Tethys margin (central Tunisia)
-
- P28** [Randa Krieche](#)
La Base de Données d'Imagerie Acoustique du SHOM (BDIMA)
-
- P29** [Simon Puaud](#), François Pustoc'h, Éric Darrigrand, Fabrice Mahé
La terre crue, un matériau typique de l'architecture rurale dans le bassin de Rennes (XVIe – XXe siècle)
-
- P30** [Matthieu Saillol](#), Markus Aretz, Elise Nardin, Capucine Beauflis
Le biostrome emsien de Château-Pignon (Pays-basque, France) – un des rares récifs du Dévonien Inférieur
-
- P31** [Pierre Shute](#), Thierry Garlan, Maël Jacquot, Carla Labarthe
Retour d'expérience autour de l'utilisation d'un granulomètre par analyse d'images dynamique dans le cadre de l'étude de sédiments d'environnement littoraux sableux
-



POSTERS - JEUDI 29/09

Session 5

Evaporites et Crise Messinienne

- P32** Guillaume Baby, Antoine Delaunay, Tihana Pensa, Abdulkader Al Affi
Contexte Geodynamique de l'ouverture de la Mer Rouge et évaporites associées
- P33** Philippe Sorrel, Wiem Ben Aissa, Véronique Gardien, Jean-Pierre Suc, Frédéric Caupin, Yann Samson, Alain Curial
Revisite des sédiments éocènes-oligocènes du bassin de la Bresse : implications paléoclimatiques et paléostructurales

Session 6.1

Enregistrement géomorphologique et sédimentaire des glaciations

- P34** Jean Vérité, Edouard Ravier, Olivier Bourgeois, Paul Bessin, Stéphane Pochat
A new morphometric approach revealing the morphological diversity and evolution of subglacial bedforms
- P35** Charles Brionne, Jean-François Ghienne, Patrick Lajeunesse, Pierre-Olivier Couette
Enregistrement morphostratigraphique d'un retrait glaciaire : la transition front marin/-front continental (Rivière Pentecôte, Côte-Nord du St-Laurent, Québec)
- P36** Samuel Toucanne, Guillaume Soulet, Vazquez-Riveiros Natalia, Pierre-Henry Blard, Frederic Herman, Germain Bayon, Fabien Dewilde, Audrey Boissier, Sandrine Cheron, Angélique Roubi, Amandine Migeon, Vincent Rigalleau, Helen Bostock
Millennial-scale fluctuations of the New Zealand Southern South Island Icefields over the last 70 kyr: the MAOREE project

Session 6.2

Apports de la géochimie dans les restitutions paléo-environnementales et paléoclimatiques

- P37** Loïc Marlot, Damien Huyghe, Justine Briais, Christine Fléhoc, Laurent Emmanuel, Mathieu Daeron, Didier Merle, Olivier Aguerre
Corrélations stratigraphiques des dépôts du Bartonien du Bassin de Paris grâce à l'outil géochimique (d18O-d13C)
- P38** Etienne Large, Julien Charreau, Pierre-Henri Blard, Germain Bayon, Eduardo Garzanti, Bernard Dennielou, Gwenaél Jouet
Évolution des sources sédimentaires du canal du Mozambique et paléo-taux de dénudation de Madagascar depuis 900 ka
- P39** Mabrouk Bachari, Danièle Grosheny, Serge Ferry, Mohamed Hedi Negra
The Cenomanian-Turonian Boundary Event (CTBE) in North-Central Tunisia (Jebel Serj and Bargou); biostratigraphy, isotope data and climate changes.

Session 6.3

Reconstitutions paléoclimatiques et paléoenvironnementales Quaternaires

- P40** Hilaire Elenga, Jude Ngakosso Ngolo, Maurice Maloungui-la Nganga, Ferlan d Ngoro-Elenga
Apport de l'étude de la couverture sédimentaire du massif du Chaillu (République du Congo) aux reconstitutions paléoenvironnementales et paléoclimatiques
- P41** Vincent Rigalleau, Nicoletta Ruggieri, Helge A. Arz, Igor M. Venancio, Henrik Sadatzki, Ralf Tiedmann, Frank Lamy
Millennial-scale Sea Surface Temperature variability in the Southeast Pacific over the past 0.8 Ma
- P42** Kelly Fauquembergue, Thierry Mulder, Christian Betzler, Vincent Hanquiez, Emmanuelle Ducassou, Audrey Recouvreur, Mélanie Principaud, Jean Borgomano, Stanislas Wilk, Sebastian Lindhorst, Emmanuelle Poli
Sedimentology of Bahamian modern carbonate slopes: A summary and update
- P43** Hamdi Omar, Chokri Yaich, Hela Fakhfakh Ben Jemiaa
Solar forcing and hydroclimate cyclicity across the African continent during the Late Holocene: is there a link?

Session 8.1 Les courants marins et leurs enregistrements dans les systèmes contouritiques

- P44** Lucie Hognon, Emmanuelle Ducassou, Thierry Mulder, Jacques Giraudeau, Kelly Fauquembergue Influence des courants de fond au cœur de l'archipel des Bahamas : exemple du Crooked Plateau (Exuma Valley)
- P45** Dhishna Buljore, Elodie Marches, Gwenael Jouet, Yannick Thomas, Estelle Thereau Stratigraphie sismique et quantification des paramètres géoacoustiques du sous-sol dans le bassin de Morondava (marge Ouest de Madagascar) à partir de données sismique multi-traces Haute Résolution
- P46** Ugo Lopes, Emmanuelle Ducassou, Antoine Marache, Paul Moal-Darrigade, Francisco Javier Hernández-Molina, Marie-Claire Perello What is the proportion of contourite in a contourite drift? Example of the Faro Drift (Iberian margin, Gulf of Cadiz)

Session 8.3 Sédimentation gravitaire en domaine marin profond : processus, dépôts et architectures sédimentaires... l'héritage de Bruno Savoye

- P47** Lucien Etcheverry, Hervé Gillet Découverte de MTDs géants dans le Golfe de Gascogne : Cartographie sismique à l'aide des données SARGASS et des données issues de la banque SISMER
- P48** Emmanuelle Ducassou, Loup Fayolas, Cyprien Arthus, Thibaut Caley, Jacques Giraudeau, Vincent Hanquiez La sédimentation turbiditique au débouché du fleuve Orénoque
- P49** Emmanuel Chapron, Geoffroy Lamarche, Sacha Fontaine, Gaëlle Pluchino, Sian Camp, Alan Orpin, Lorna Strachan, Jamie Howarth, Pieter van Beek Submarine sedimentary record of an historical earthquake in a confined Paoanui Trough, Hawke's Bay continental slope, Hikurangi subduction margin, New Zealand, 41°S
- P50** Bernard Dennielou, Ricardo Silva Jacinto, Léa seguin, Célestine Coclez, Natalia Vazquez Riveiros, Angélique Roubi, Ivane Pairaud, Pierre Garreau Utilisation des résidus industriels de traitement de la bauxite (boues rouges) comme traceur artificiel des processus naturels de dispersion des sédiments dans les canyons sous-marins (le canyon de Cassidaigne).

Session 9.1 Sédimentation sur des pentes continentales durant la déformation

- P51** Tarik Kernif, François Fournier, Thierry Nalpas, Marc Poujol, Sylvie Bourquin, Michel De Saint Blanquat, Pierre Huruguen, Milton Boucard, Sarah Boularand Réinterprétation de brèches sédimentaires du synclinal du Bas Agly (Pyrénées orientales, France)

Session 9.2 Compréhension des systèmes fluides, géohazards et enjeux sociétaux

- P52** Tania Marsset, Gregory Ballas, Ioan Munteanu, Chastity Aiken, Gabriel Ion, Mathilde Pitel-Roudaut, Pauline Dupont Impact of tectonic-sedimentary architecture of surficial deposits on sediment instabilities along the Continental Slope Offshore Romania (Western Black Sea)
- P53** Romain Jatiault, Mahrez Sadaoui, Lies Loncke, Dimitris Sakellarios, Chihab Haddouche, Erica Ballester, Simon Police Les systèmes d'expulsions naturels à d'hydrocarbures lourds en Mer Noire et Mer Egée

Session 9.3 Sédimentation et processus de transfert autour des îles volcaniques

- P54** Cédric Turel, Julie Bignon, Manon Lecomte, François Longuet, Alice Rambaud, Anais Rusquet, Luc Beaufort, Carole Berthod, Isabelle Billy, Jérôme Bonnin, Karine Charlier, Vincent Famin, Stephan Jorry, Etienne Médard, Fabien Paquet, Marie-Claire Perello, Linda Rossignol, Margaux Saint-George, Isabelle Thinon, Laurence Vidal, Sébastien Zaragosi 1,2 Millions d'années d'enregistrement de la sédimentation gravitaire au Nord de l'archipel des Comores
- P55** Ophélie Pascault, Christophe Durllet, Thomas Saucède, Aurélien Virgone Geomorphologic and eogenetic impact of CO₂-volcanic seeps into Mayotte lagoon (Comoros Archipelago, Mozambique Channel)

Session 9.5**Session tecto-sédimentaire**

- P56** Jean-Loup Rubino, Reynaud Jean-Yves, Jocelyn Barbarand, Olivier Parize Evidences of tidal currents in the Upper Carboniferous of French Southern Alps: Paleogeographic and tectonic implications
-
- P57** Antoine Delaunay, Guillaume Baby, Ali AlTammar, Jakub Fedorik, Tihana Pensa, Iyad Zalmout, Abdullah Memesh, Abdulkader Al Afifi Rift stratigraphy of the central Red Sea margin. Jeddah area, Saudi Arabia
-
- P58** Caroline Van de Vyver, Cédric Carpentier, Mary Ford, Mihaela Melinte-Dobrinescu Sedimentological and structural context of the Nummulitic transgression in Alpine Corsica
-

Session 10.1**Dynamiques littorale et côtière**

- P59** Guillaume Croguennec, Anne-Claire Bennis, Martial Boutet, Gaetano Porcile, Pierre Weill, Franck Dumas, Sophie Le Bot, Laurent Leballeur Assessment of the coupled model CROCO-WaveWatch-III in an estuarine environment: application to the Somme Bay
-
- P60** Ivana Maiten Mingo, Laurent Lacaze, Rafael Almar Beachface slope: rapid evolution of the littoral morphology
-
- P61** Mouncef Sedrati, Adèle Joseph, Erwan Gensac Shoreline movement and morphodynamics of an atypical embayed beach: Houat Island, Morbihan - France
-

Session 10.4**Apports de la géophysique pour la reconstitution des corps sédimentaires côtiers, littoraux, estuariens et fluviaux**

- P62** Pierre Weill, Stéphane Rodrigues, Antoine Dubois, Clément Moreau, Philippe Juge, Jules Le Guern Architecture sédimentaire des barres sableuses actuelles de la Loire aval (France)
-

Session 11**Environnements sédimentaires et activités anthropiques : ports durables, sédiments de dragage, extraction de granulats marins et énergies marines renouvelables**

- P63** Fabrice Pluquet, Philippe Bryère, Nicolas Chini Estimation de la turbidité à partir du traitement des images satellitaires : application aux travaux en mer
-
- P64** Baptiste Oudon, Chanez Belaidi, Alice Prospero, Jessica Salaun, Arnaud Coutu Etude de l'interaction fluide-structure d'un récif artificiel par simulation numérique : application à la problématique de l'enfouissement
-
- P65** Cédric Ngamo Kouandop, Valentin Helle, Olivier Bain, Arnaud Coutu Simulation numérique d'une hydrolienne bio-inspirée
-